



دانشگاه اصفهان

دانشکده علوم

گروه زمین شناسی

**پایان نامه‌ی کارشناسی ارشد رشته‌ی زمین شناسی گرایش
پترولوزی**

**پترولوزی و ایزوتوپ پایدار (اکسیژن) توده نفوذی گرانیت‌وئیدی کلاه قاضی
(جنوب-جنوب شرق اصفهان)**

استاد راهنما:

دکتر محمود خلیلی

استاد مشاور:

دکتر مهین منصوری اصفهانی

پژوهشگر:

افسانه صفری میرقلعه

۱۳۹۲ مهرماه

کلیه حقوق مادی مترقب بر نتایج
مطالعات، ابتکارات و نوآوری های ناشی
از تحقیق موضوع این پایان نامه متعلق
به دانشگاه اصفهان است.

شیوه کارشناس پایان نامه
رجایت شده است.



دانشگاه اصفهان

دانشکده علوم پایه

گروه زمین شناسی

پایان نامه‌ی کارشناسی ارشد رشته‌ی زمین شناسی گرایش پترولوجی

خانم افسانه صفری میرقلعه

تحت عنوان:

پترولوجی و ایزوتوپ پایدار (اکسیژن) توده نفوذی کلاه قاضی (جنوب-جنوب شرق
اصفهان)

در تاریخ ۱۳۹۲/۷/۲۹ توسط هیأت داوران زیر بررسی و با درجه عالی به تصویب نهایی رسید.

امضا

با مرتبه‌ی علمی استاد

۱- استاد راهنمای پایان نامه: دکتر محمود خلیلی

امضا

۲- استاد مشاور پایان نامه: دکتر مهین منصوری اصفهانی با مرتبه‌ی علمی استادیار

امضا

۳- استاد داور داخل گروه: دکتر محسن طباطبایی منش با مرتبه‌ی علمی دانشیار

امضا

۴- استاد داور داخل گروه: دکتر محمد علی مکی زاده با مرتبه‌ی علمی استادیار

امضای مدیر گروه

پاسکزاری

خدایا از تو پاسکزارم.

از زحات کلیه عزیزانی که در این راه مردیاری نمودند قدر دانی می‌نایم.

از بتاب آقای دکتر محمود خلیلی برای راهنمایی های ارزشمند شان به عنوان استاد راهنمای شکری نایم.

راهنمایی ها، تلاش و مساعدة های بی‌دهنی استاد مشاور سرکار خانم دکتر مین مصوروی اصفهانی را ارج می‌نمم.

از اساتید و کارکنان کروه زمین شناسی، به ویژه آقایان دکتر نظره نیان، دکتر طباطبائی مش، دکتر ترابی، دکتر کیمی زاده، دکتر شیرینی کمال شکر را در ارم.

از تلاش ها و مساعدة مدیریت کروه، خاناب آقای دکتر صفری پاسکوار، هستم.

از زحات خانم شاه پیری مسول کتابخانه کروه زمین شناسی نیز شکری نایم.

تعدیم به:

پرورمادم

که هوا راه مشوق من بود.

تعدیم به:

همسر مهر باشم

که هوا راه و راهنمایم بود.

چکیده

سنگ های آذرین توده نفوذی کلاه قاضی با سن ژوراسیک میانی در جنوب-جنوب شرق اصفهان و در پهنه سندج - سیرجان رخمنون دارند. بر اساس بررسی های سنگ شناسی این توده ها از مونزو گرانیت، گرانودیوریت، سینو گرانیت تشکیل شده است. مطالعات پتروگرافی و شیمی کانی نشانگ آن است که کانی های سازنده اصلی این سنگ ها شامل کوارتز، پلاژیوکلاز، بیوتیت و فلدسپار پتاسیک می باشند. کانی های فرعی آن ها را اسفن، آپاتیت، تورمالین، کردیریت، آندالوزیت، سیلیمانیت، کیانیت، اسپینل، گارنت و مگنتیت تشکیل می دهد.

تورمالین های منطقه کلاه قاضی، از نوع دراویت هیدروترمالی و کردیریت های منطقه مورد مطالعه از نوع دگرگونی بوده و اکثر مسکویت ها تجزیه شده می باشند. گارنت های منطقه کلاه قاضی از نوع آلماندن، متداول ترین نوع گارنت در ماقمای پرآلومینه شناسایی شد.

بررسی های ژئوشیمیابی نشان می دهد که این توده نفوذی از نوع S، کالک آکالان و پرآلومین است و بر اثر ذوب بخشی متاپلیت های به احتمال زیاد ژوراسیک زیرین و در یک محیط تکتونیکی برخوردي حاصل شده است. وجود لوکوسوم، آشکارا به تشکیل میگماتیت در منطقه مورد بررسی اشاره دارد. توده نفوذی کلاه قاضی، بر اساس زمین دما- فشار سنجی، در دمایی کمتر از ۸۰۰ درجه سانتی گراد با فشار کمتر از ۵ کیلوبار و در عمق پایین تر از ۱۰ کیلومتر تشکیل شده است. این توده به سبب آنکه با یک سیال جوی در شرایط ساب سالیدوس دارای تبدال ایزوتوپ بوده از نظر ایزوتوپ های اکسیژن و هیدروژن تهی است.

واژگان کلیدی

پتروژنز- ژئوشیمی- کانی های فرعی- ایزوتوپ پایدار (اکسیژن- هیدروژن)- کلاه قاضی- پهنه سندج- سیرجان

فهرست مطالب

صفحه

عنوان

فصل اول: کلیات

۱	۱-۱- مقدمه
۲	۱-۲- موقعیت جغرافیایی منطقه
۲	۱-۳- راه های ارتباطی به منطقه مورد مطالعه
۴	۱-۴- آب و هوا و پوشش گیاهی
۵	۱-۵- توان صنعتی و معدنی منطقه
۵	۱-۶- زئومورفولوژی منطقه
۷	۱-۷- تاریخچه مطالعات پیشین
۷	۱-۸- روش های مطالعه
۸	۱-۹- اهداف تحقیق
۸	۱-۱۰- تقدیر و تشکر

فصل دوم: زمین شناسی عمومی

۹	۲-۱- تقسیمات زمین شناسی ایران
۱۰	۲-۲- انگاره زمین ساخت ورقه‌ای
۱۰	۲-۳- نگاهی کوتاه به ساختار زمین شناسی ایران مرکزی
۱۱	۲-۴- ایران مرکزی در دوران مژوزوئیک
۱۲	۲-۵- پهنه سنندج - سیرجان
۱۳	۲-۶- چینه نگاری پهنه سنندج سیرجان
۱۴	۲-۷- دگرگونی سنندج - سیرجان
۱۴	۲-۸- وضعیت زمین شناسی منطقه
۱۴	۲-۹- چینه شناسی منطقه
۱۶	۲-۹-۱- تریاس
۱۶	۲-۹-۲- زوراسیک
۱۶	۲-۹-۱- نفوذی های زوراسیک ایران مرکزی
۱۶	۲-۹-۳- کرتاسه
۱۷	۲-۹-۴- کواترنر

صفحة	عنوان
	فصل سوم: پتروگرافی و شیمی - کانی
۱۸.....	۱-۳ - مقدمه
۱۹.....	۲-۳ - کانی شناسی سنگ های نفوذی کلاه قاضی
۱۹.....	۱-۲-۳ - بررسی کانی های گرانیت‌وئد کلاه قاضی
۱۹.....	۱-۱-۲-۳ - کوارتز
۲۰.....	۲-۱-۲-۳ - پلاژیوکلار
۲۱.....	۳-۱-۲-۳ - آلکالی فلدسپار
۲۲.....	۴-۱-۲-۳ - بیوتیت
۲۳.....	۲-۲-۳ شیمی کانی
۲۳.....	۱-۲-۲-۳ - کریستال شیمی فلدسپار
۲۸.....	۲-۲-۲-۳ - کریستال شیمی بیوتیت
۳۲.....	۱-۲-۲-۲-۳ - تقسیم بندی میکاهای مورد مطالعه بر اساس دیر و همکاران (۱۹۹۲)
۳۲.....	۲-۲-۲-۲-۳ - تقسیم بندی میکا های مورد مطالعه بر اساس رده بندی ریدر و همکاران (۱۹۹۸)
۳۲.....	۳-۲-۲-۲-۳ - رده بندی بیوتیت های مورد مطالعه براساس فوستر (۱۹۶۰)
۳۳.....	۴-۲-۲-۲-۳ - تعیین محیط تکتونیکی با استفاده از شیمی بیوتیت
۳۴.....	۵-۲-۲-۲-۳ - رده بندی بیوتیت ها و تعیین سری ماگمای
۳۵.....	۱-۲-۲-۳ - گارت
۳۵.....	۶-۱-۲-۲-۳ - کردیریت
۳۶.....	۷-۱-۲-۲-۳ - آندالوزیت
۳۷.....	۸-۱-۲-۲-۳ - سیلیمانیت
۳۷.....	۹-۱-۲-۲-۳ - کیانیت
۳۷.....	۱۰-۱-۲-۲-۳ - زیرکن
۳۸.....	۱۱-۱-۲-۲-۳ - آپاتیت
۳۸.....	۱۲-۱-۲-۲-۳ - میکای سفید
۳۹.....	۳-۲-۲-۳ - کریستال شیمی گارت
۴۱.....	۴-۲-۲-۳ - کریستال شیمی کردیریت
۴۳.....	۵-۲-۲-۳ - کریستال شیمی مسکویت
۴۵.....	۱-۵-۲-۲-۳ - تعیین نوع میکا
۴۶.....	۱۲-۱-۲-۳ - اسپینل
۴۶.....	۱۴-۱-۲-۳ - تورمالین
۴۷.....	۱۵-۱-۲-۳ - اسفن یا تیتانیت
۴۸.....	۱۶-۱-۲-۳ - اپیدوت

صفحة	عنوان
۴۸	۱۷-۱-۲-۳ - اپاک.....
۴۸	۱۸-۱-۲-۳ - کانی های رسی.....
۴۸	۶-۲-۲-۳ - کریستال شیمی اسپینل.....
۴۹	۷-۲-۲-۳ - کریستال شیمی تورمالین.....
۵۰	۱-۷-۲-۲-۳ - تعیین منشأ تورمالین ها.....
۵۱	۲-۷-۲-۲-۳ - رده بندی تورمالین ها.....
۵۲	۳-۳ - آنکلاو.....
۵۳	۱-۳-۳ - آنکلاوهای توده نفوذی کلاه قاضی.....
۵۳	۱-۱-۳-۳ - آنکلاوهای میکروگرانولار فلزیک.....
۵۳	۲-۱-۳-۳ - آنکلاوهای سورمیکاسه.....
۵۴	۳-۱-۳-۳ - زینولیت.....
۵۴	۴-۳ - بافت های سنگ های توده نفوذی کلاه قاضی.....
۵۵	۱-۴-۳ - بافت گرانولار.....
۵۵	۲-۴-۳ - بافت پویی کلیتیک.....
۵۶	۳-۴-۳ - بافت پرتیت.....
۵۶	۴-۴-۳ - بافت میرمکیت.....
۵۷	۵-۴-۳ - بافت سیمپلکتیت.....
۵۷	۵-۴-۳ - میگماتیت.....
۵۸	۱-۵-۳ - میگماتیت های حاصل از ذوب بخشی(آناتکسی).....
۶۰	۲-۵-۳ - ویژگی های بافتی لوکوسوم.....
۶۰	۱-۲-۵-۳ - اندازه دانه.....
۶۱	۲-۲-۵-۳ - شکل دانه.....
۶۱	۳-۲-۵-۳ - جهت یافته دانه.....
۶۲	۴-۲-۵-۳ - بافت هایی که بر تبلور از مذاب دلالت می کنند.....
۶۲	۱-۴-۲-۵-۳ - زونینگ ایدیومورفیک در پلاژیوکلاز.....
۶۳	۲-۴-۲-۵-۳ - بافت های جایگزینی اولیه.....
۶۳	۳-۴-۲-۵-۳ - روابط همبری(کنتراکت) دانه ها.....
۶۴	۴-۴-۲-۵-۳ - سطوح بلوری.....
۶۴	۵-۴-۲-۵-۳ - بافت های دیگر.....
۶۵	۵-۵-۳ - عوامل کنترل کننده فابریک میگماتیت ها.....
۶۵	۶-۳ - نتایج حاصل از بررسی های پتروگرافی سنگ های نفوذی و آنکلاوهای کلاه قاضی.....

صفحة	عنوان
------	-------

	فصل چهارم: ژئوشیمی
٦٧	٤-١- مقدمه
٦٧	٤-٢- تفکیک آهن ۲ و ۳ ظرفیتی در سنگ
٦٩	٤-٣- بررسی داده های ژئوشیمیایی حاصل از آنالیز سنگ کل
٧٠	٤-٤- نام گذاری سنگ ها
٧٠	٤-٤-١- نام گذاری براساس نسبت مجموعه آلکالی در مقابل SiO_2
٧٠	٤-٤-٢- نمودار طبقه بندی لوپاس و همکاران (۱۹۸۶)
٧١	٤-٤-٣- رده بندی کاتیونی دولاروش و همکاران (۱۹۸۰)
٧٢	٤-٤-٤- نام گذاری سنگ ها بر اساس نورم
٧٣	٤-٥- تعیین نوع سری ماگمایی
٧٣	٤-٥-١- نمودار SiO_2 در مقابل $\text{K}_2\text{O} + \text{Na}_2\text{O}$ ایریون و باراگار (۱۹۷۱)
٧٤	٤-٥-٢- نمودار SiO_2 در مقابل $\text{K}_2\text{O} + \text{Na}_2\text{O} - \text{CaO}$ فرات و همکاران (۲۰۰۱)
٧٤	٤-٥-٣- نمودار تعیین میزان پتانسیم سنگ های ماگمایی (لومتر و همکاران، ۱۹۸۹)
٧٥	٤-٥-٤- نمودار های تفکیک سنگ های ماگمایی از نظر آلومین
٧٥	٤-٥-٥- نمودار تعیین درجه اشباع شدگی از آلومینیم (مانیار و پیکولی، ۱۹۸۹)
٧٦	٤-٥-٦- نمودار مغازی و همکاران (۲۰۰۴)
٧٦	٤-٦- بررسی دیاگرام های هارکر
٧٧	٤-٦-١- هارکر عناصر اصلی
٧٨	٤-٦-٢- روند تغییرات عناصر کمیاب نسبت به SiO_2
٧٩	٤-٧- ژئوشیمی عناصر نادر خاکی (REEs) و کمیاب
٧٩	٤-٧-١- نمودار بهنجارسازی عناصر خاکی (REEs) نسبت به کندریت
٨١	٤-٨- نتیجه گیری

	فصل پنجم: پتروزنز و ایزوتوپ های پایدار
٨٢	٥-١- مقدمه
٨٢	٥-٢- تعیین درجه ذوب بخشی سنگ منشاء
٨٣	٥-٣- نمودار های مناسب برای تعیین سیر تحولی ماگما
٨٤	٥-٤- تعیین جایگاه تکتونیکی
٨٤	٥-٤-١- تعیین محیط تکتونیکی بر اساس تقسیم بندی پیرس و همکاران (۱۹۸۴)
٨٥	٥-٤-٢- تعیین جایگاه تکتونیکی بر اساس نظر مانیار و پیکولی (۱۹۸۹)

صفحة	عنوان
------	-------

۸۵	-۵-۵- زمین دما - فشار سنجی توده گرانیتوئیدی کلاه قاضی.....
۸۶	۵-۶- منشأ گرانیتوئید کلاه قاضی و ارائه مدل پتروژنی برای سنگ های نفوذی این منطقه.....
۸۷	۵-۷- ایزوتوب های پایدار اکسیژن و هیدروژن
۸۷	۵-۷-۱- ایزوتوب هیدروژن.....
۸۸	۵-۷-۲- ایزوتوب اکسیژن.....
۹۵	۵-۸- نتیجه گیری.....
۹۵	۵-۹- نتیجه گیری و پیشنهادات.....
۹۵	۵-۱۰- نتیجه گیری.....
۹۵	۵-۱۱- پیشنهادات.....
۹۶	۵-۱۲- منابع و مأخذ.....
۱۰۴	۵-۱۳- پیوست.....

فهرست شکل ها

صفحه

عنوان

شکل ۱-۱ موقعیت منطقه مورد مطالعه و راه های دسترسی به آن (اقتباس از اطلس راه های ایران، ۱۳۸۴)	۲۰
شکل ۲-۱ سنگ های نفوذی کلاه قاضی در عکس ماهواره ای نمایش داده شده است.	۳
شکل ۳-۱ جایگاه سنگ های نفوذی مورد مطالعه در پهنه سندنج سیرجان و موقعیت نزدیک ترین شهر و روستاهای به این منطقه	۴
شکل ۴-۱ نمایی از منطقه مورد مطالعه (دید به سمت شمال)	۶
شکل ۵-۱ موقعیت توده نفوذی کلاه قاضی نسبت به سنگ آهک های کوه مجاور (دید به سمت شمال).	۶
شکل ۶-۱ تصویری از شکستگی های سنگ های نفوذی منطقه که در اثر عوامل تکتونیکی ایجاد شده است(دید به سمت شمال)	۶
شکل ۷-۱ وجود درزه های مزدوج در سنگ های مورد مطالعه که نشانه حرکات تکتونیکی در این منطقه است.	۷
شکل ۸-۱ تصویری از فرسایش پوسته پیازی در سنگ های مورد بررسی	۷
شکل ۹-۱ جایگاه زمین شناسی ایران در نوار چین خورده آلپ-هیالیا (آقانباتی، ۱۳۸۳)	۹
شکل ۱۰-۲ واحدهای زمین شناختی و ساختمنی ایران (آقانباتی، ۱۳۸۳)	۱۰
شکل ۱۲-۲ جایگاه منطقه مورد مطالعه	۱۲
شکل ۱۵-۲ نقشه ساده شده از منطقه مورد مطالعه براساس نقشه ۱:۲۵۰۰۰ چهار گوشه اصفهان (Zahedi، ۱۹۷۶)	۱۵
شکل ۲۰-۳ تصویری از ادخال بلورهای بیوتیت درون بلور کوارتز (XPL).	۲۰
شکل ۲۱-۳ سرسیتی زاسیون شدید بلورهای پلاژیوکلاز در سنگ های مورد تحقیق (XPL).	۲۱
شکل ۲۱-۳ بلور ارتوکلاز به همراه کوارتز زمینه سنگ را تشکیل می دهند.	۲۱
شکل ۲۲-۳ در اثر واکنش ارتوکلاز با پلاژیوکلاز، میرمکیت حاصل شده است (XPL).	۲۲
شکل ۲۳-۳ خمیدگی حاصل از استرس تکتونیکی در بلور بیوتیت موجود در سینوگرانیت های منطقه کلاه قاضی (XPL).	۲۳
شکل ۲۸-۳ ترکیب فلدسپارهای سنگ های توده گرانیتوئیدی کلاه قاضی، بر اساس نمودار Or-Ab-An (Dier و همکاران، ۱۹۹۲)	۲۸
شکل ۳۰-۳ بر اساس نمودارفلیت و دیر (۲۰۰۳) بیوتیت های سنگ ها و آنکلواهای منطقه همراه با مسکویت و کوارتز می باشند	۳۰

عنوان

صفحة

..... شکل ۸-۳ ترکیب بیوتی های مورد بررسی در نمودار $MgO-(FeO^*+MnO)-10TiO_2$ (ناچیت و همکاران، ۲۰۰۵) ۳۰ شکل ۹-۳ بیوتیت ها در محدوده TiO_2 بیشتر و گستره $Mg^{#}$ بالاتر قرار گرفته اند ۳۱
..... شکل ۱۰-۳ نمودار تعیین دمای تبلور بیوتیت های سنگ های آذرین هنری و همکاران(۵) ۳۱ شکل ۱۱-۳ موقعیت قرارگیری میکاهای سنگ ها و آنکلاوهای منطقه کلاه قاضی در نمودار $Al^{VI}(Fe^{+2}/Fe^{+2}+Mg)$ در مقابل Al^{VI} (دیر و همکاران، ۱۹۹۲) ۳۲
..... شکل ۱۲-۳ میکاهای سنگ ها و آنکلاوهای منطقه کلاه قاضی بر اساس نمودار رده بندی ریدر و همکاران(۱۹۹۸) در محدوده بیوتیت واقع شده اند ۳۲ شکل ۱۳-۳ ترکیب میکاهای مورد بررسی در نمودار $Mg-(Mn+Fe^{+2})-(Al^{VI}+Fe^{+3}+Ti)$ فوستر(۱۹۶۰) ۳۳
..... شکل ۱۴-۳ موقعیت میکاهای سنگ ها و آنکلاوهای منطقه کلاه قاضی در نمودار Al_2O_3 در برابر FeO^* (عبدالرحمان، ۱۹۹۴) ۳۳ شکل ۱۵-۳ موقعیت میکاهای منطقه بر روی نمودار Al_2O_3 در برابر MgO (عبدالرحمان، ۱۹۹۴) ۳۴
..... شکل ۱۶-۳ موقعیت میکاهای منطقه بر روی نمودار Al در برابر Mg (ناچیت و همکاران، ۲۰۰۵) ۳۴ شکل ۱۷-۳ حضور پتاسیم فلدسپار درون شکستگی های کانی گارنت گرانودیوریت کلاه قاضی (PPL). ۳۵
..... شکل ۱۸-۳ کردیریت های رستیتی در مونزوگرانیت های کلاه قاضی (XPL) ۳۶ شکل ۱۹-۳ ارتباط میان کانی آندالوزیت و دیگر کانی ها در مونزوگرانیت های کلاه قاضی (XPL) ۳۶
..... شکل ۲۰-۳ ارتباط میان کیانیت و آندالوزیت در مونزوگرانیت های کلاه قاضی (XPL) ۳۷ شکل ۲۱-۳ ادخال کانی زیرکن درون کانی بیوتیت که بیانگر به ارث رسیدن این کانی از سنگ منشأ می باشد (XPL) ۳۷
..... شکل ۲۲-۳ محاط شدن سوزن های نازک و طویل آپاتیت توسط بلور های پلاژیوکلاز مونزوگرانیت کلاه قاضی (XPL) ۳۸ شکل ۲۳-۳ ترکیب شیمیایی گارنت های گرانودیوریت کلاه قاضی بر روی نمودار سه گوش گارنت ها. ۴۰
..... شکل ۲۴-۳ تعیین خاستگاه گارنت های گرانودیوریت کلاه قاضی(اقتباس از هارانگی و همکاران، ۲۰۰۱) ۴۱ شکل ۲۵-۳ تعیین موقعیت کردیریت های گرانیتوئید کلاه قاضی در نمودار Σchc نسبت به $Mg/Mg+Fe+Mn$ ، اقتباس از پیریرا(۱۹۹۴) ۴۳
..... شکل ۲۶-۳ نمودار تفکیک مسکویت از فریت و سladonیت در سینوگرانیت های کلاه قاضی (داودیان دهکردی، ۱۳۸۴) ۴۵ شکل ۲۷-۳ نمودار تعیین مسکویت های منطقه کلاه قاضی، اقتباس از مونیر و همکاران(۱۹۸۴) ۴۵
..... شکل ۲۸-۳ نمودار مثلثی ترکیب شیمیایی میکاهای سفید سینوگرانیت های کلاه قاضی، اقتباس از میلر و همکاران(۱۹۸۱) ۴۶	

عنوان	
صفحه	
شکل ۲۹-۳ بافت کششی- جدایشی در تورمالین های مورد سخن که تشکیل آن را شاید بتوان به تأثیر فاز کوهزایی سیمیرین نسبت داد (XPL).....	۴۷
شکل ۳۰-۳ حضور کانی های بی شکل اسفن در گرانودیوریت های کلاه قاضی (XPL).....	۴۷
شکل ۳۱-۳ پی دوت زایی بلور های بیوپیت در مونزوگرانیت های کلاه قاضی (XPL).....	۴۸
شکل ۳۲-۳ ترسیم تورمالین های منطقه بر روی نمودار های سه تابی Al-Fe50-Mg50 (هنری گوتی، ۱۹۸۵).....	۵۱
شکل ۳۳-۳ تقسیم بندی تورمالین های منطقه با استفاده از نمودار X-vacancy/Na+X-vacancy در برابر Mg/Mg+Fe از هورتون و هنری(۱۹۹۹).....	۵۲
شکل ۳۴-۳ تقسیم بندی انواع تورمالین ها بر اساس موقعیت X از هورتون و هنری(۱۹۹۹).....	۵۲
شکل ۳۵-۳ آنکلاو رستیتی در گرانودیوریت های کلاه قاضی	۵۴
شکل ۳۶-۳ گزنویت های موجود در توده نفوذی کلاه قاضی.....	۵۴
شکل ۳۷-۳ بافت گرانولار، اصلی ترین بافت گرانیتوئید کلاه قاضی (XPL).....	۵۵
شکل ۳۸-۳ بافت رایج در گرانیتوئید کلاه قاضی، بافت پویی کیلیتیک می باشد(XPL).....	۵۶
شکل ۳۹-۳ تشکیل بافت پرتیت در گرانیتوئید کلاه قاضی تحت تأثیر نیروهای تکتونیکی در منطقه (XPL).....	۵۶
شکل ۴۰-۳ تشکیل بافت میرمکیت در اثر اعمال استرس در گرانیتوئید کلاه قاضی (XPL).....	۵۷
شکل ۴۱-۳ نمایش بخش های مختلف میگماتیت	۵۸
شکل ۴۲-۳ شکل کلی ذوب بخشی پوسته و تشکیل میگماتیت ها، اقتباس از اوباتا و همکاران(۱۹۹۴).....	۵۹
شکل ۴۳-۳ تصویر ماکروسکوپی از میگماتیت کلاه قاضی.....	۶۰
شکل ۴۴-۳ حضور کانی های روشن درشت در لوکوسوم میگماتیت کلاه قاضی (XPL).....	۶۱
شکل ۴۵-۳ ارتوكلازهای تمام شکل تشکیل دهنده لوکوسوم کلاه قاضی(XPL).....	۶۱
شکل ۴۵-۳ عدمجهت یافته‌گی در کانی های تشکیل دهنده لوکوسوم کلاه قاضی(XPL).....	۶۲
شکل ۴۶-۳ زونینگ ایدیومورفیک در پلاژیوکلاز های لوکوسوم کلاه قاضی (XPL).....	۶۲
شکل ۴۷-۳ جایگزینی پتاسیم فلدسپار توسط میرمکیت در لوکوسوم های کلاه قاضی (XPL).....	۶۳
شکل ۴۸-۳ تبلور کانی هایی با سطوح بلوری در لوکوسوم کلاه قاضی بیانگر تبلور آن ها از مذاب است(XPL).....	۶۴
شکل ۴۹-۳ خاموشی موجود در کوارتز های تشکیل دهنده لوکوسوم های کلاه قاضی(XPL).....	۶۵
شکل ۱-۴ دیاگرام آلکالی-سیلیس و نسبت FeO/(FeO+Fe ₂ O ₃) جهت سنگ های آذرین درونی (لومتر و همکاران، ۱۹۸۹).....	۶۸
شکل ۲-۴ رده بندی سنگ های منطقه کلاه قاضی بر اساس نمودار لوپاس و همکاران(۱۹۸۶)	۷۱
شکل ۳-۴ موقعیت قرارگیری گرانیتوئید کلاه قاضی بر روی نمودار کاتیونی R ₁ -R ₂ (دولاروش و همکاران، ۱۹۸۰).....	۷۲

عنوان

صفحه

شکل ۴-۴ نمودار طبقه بندی لومتر(۱۹۸۹) و موقعیت قرار گیری گرانیتوئید های کلاه قاضی.....	۷۲
شکل ۵-۴ موقعیت قرار گیری نمونه های مورد مطالعه در نمودار تقسیم بندی سنگ های گرانیتوئیدی ارئه شده از اشتريکايزن و لومتر(۱۹۷۹).....	۷۳
شکل ۶-۴ موقعیت قرار گیری نمونه ها در نمودار سیلیس در مقابل مجموع آلکالی ایروین و باراگار(۱۹۷۱).....	۷۳
شکل ۷-۴ در نمودار SiO_2 در مقابل $\text{K}_2\text{O}+\text{Na}_2\text{O}-\text{CaO}$ (فراست و همکاران، ۲۰۰۱)، سنگ های منطقه کلاه قاضی در محدوده کالک آلکالن قرار گرفته اند.....	۷۴
شکل ۸-۴ در نمودار K_2O در مقابل SiO_2 (لومتر و همکاران، ۱۹۸۹) نمونه ها در محدوده پتانسیم زیاد قرار گرفته اند.....	۷۵
شکل ۹-۴ تعیین مقدار آلومین موجود در نمونه های مورد مطالعه (مانیار و پیکولی، ۱۹۸۹).....	۷۵
شکل ۱۰-۴ بررسی شاخص آلومین در گرانیتوئید کلاه قاضی با استفاده از نمودار مغازی و همکاران(۲۰۰۴).....	۷۶
شکل ۱۱-۴ نمایش نمودار های هارکر اکسید های عناصر اصلی.....	۷۸
شکل ۱۲-۴ نمودار های تغییرات عناصر کمیاب نسبت به سیلیس.....	۷۹
شکل ۱۳-۴ الگوی بهنجار سازی عناصر نادر خاکی(REEs) نسبت به کندریت (برگرفته از سان و مک دوناف، ۱۹۸۹).....	۸۰
شکل ۱-۵ بررسی روند ذوب بخشی در نمونه های مورد بررسی.....	۸۳
شکل ۲-۵ نمودار تعیین موقعیت تکتونیکی گرانیتوئید کلاه قاضی با استفاده از عناصر Rb و Yb+Ta (پیرس و همکاران، ۱۹۸۴).....	۸۴
شکل ۳-۵ نمودار تعیین موقعیت تکتونیکی گرانیتوئید کلاه قاضی (مانیار و پیکولی، ۱۹۸۹).....	۸۵
شکل ۴-۵ نمودار تعیین دمای تشکیل توده نفوذی کلاه قاضی (واتسون و هریسون، ۱۹۸۳).....	۸۶
شکل ۵-۵ نمودار تعیین فشار توده نفوذی کلاه قاضی	۸۶
شکل ۶-۵ محدوده تغییرات ایزوتوب های اکسیژن در سنگ های مختلف (گونتر، ترجمه اعتمادی، ۱۳۷۰).....	۹۰
شکل ۷-۵ نمودار $\delta^{87}\text{Sr}$ به منظور تعیین تأثیر احتمالی فعالیت هیدروترمال روی سنگ های پلوتونیک کلاه قاضی.....	۹۱
شکل ۸-۵ نمودار تغییرات $\delta^{18}\text{O}$ در برابر Sr و Zr کل نمونه های گرانیتوئید کلاه قاضی (هریس و آشوآل، ۲۰۰۲).....	۹۱
شکل ۹-۵ نمودار مقایسه دامنه تغییرات ایزوتوب های اکسیژن و هیدروژن برای آب های ماگمایی، دگرگونی، گرمابی، اقیانوسی و سطحی (لارسن و تایلور، ۱۹۷۱)	۹۲
شکل ۱۰-۵ نمودار معادله های دماستجی ایزوتوبی اکسیژن(تایلور، ۱۹۷۴).....	۹۳
شکل ۱۱-۵ ترسیم δD در مقابل $\delta^{18}\text{O}$ کل توده نفوذی کلاه قاضی (اقتباس از لارسن و تایلور، ۱۹۷۱).....	۹۴

فهرست جدول ها

عنوان	صفحه
جدول ۱-۳ علامت های اختصاری کانی های سنگ های مورد مطالعه (کرتز، ۱۹۸۳)	۱۸
جدول ۲-۳ نتایج آنالیز EDS پلازیوکلازهای سنگ های مونزوگرانیتی کلاه قاضی	۲۴
ادامه جدول ۲-۳ نتایج آنالیز EDS پلازیوکلازهای سنگ های مونزوگرانیتی کلاه قاضی	۲۵
ادامه جدول ۲-۳ نتایج آنالیز EDS پلازیوکلازهای سنگ های مونزوگرانیتی کلاه قاضی	۲۵
جدول ۳-۳ نتایج آنالیز EDS فلدسپار های پتاسیم سنگ های مونزوگرانیتی کلاه قاضی	۲۶
ادامه جدول ۳-۳ نتایج آنالیز EDS فلدسپار های پتاسیم سنگ های سینوگرانیتی کلاه قاضی	۲۶
ادامه جدول ۳-۳ نتایج آنالیز EDS فلدسپار های پتاسیم سنگ های سینوگرانیتی کلاه قاضی	۲۷
ادامه جدول ۳-۳ نتایج آنالیز EDS فلدسپار های پتاسیم سنگ های گرانودیوریتی کلاه قاضی	۲۷
ادامه جدول ۳-۳ نتایج آنالیز EDS فلدسپار های پتاسیم سنگ های گرانودیوریتی کلاه قاضی	۲۸
جدول ۴-۳ نتایج آنالیز EDS بیوتیت های سنگ ها و آنکلاوهای منطقه کلاه قاضی	۲۹
جدول ۵-۳ نتایج آنالیز EDS گارنت های گرانودیوریت های منطقه کلاه قاضی	۴۰
جدول ۶-۳ نتایج آنالیز مایکروپروب کردیریت های منطقه کلاه قاضی	۴۳
جدول ۷-۳ نتایج آنالیز مایکروپروب مسکویت های سینوگرانیت های کلاه قاضی	۴۴
جدول ۸-۳ نتایج آنالیز مایکروپروب اسپینل های موجود در سنگ های منطقه کلاه قاضی	۴۹
جدول ۹-۳ نتایج آنالیز مایکروپروب تورمالین های منطقه کلاه قاضی	۵۰
جدول ۱-۴ نتایج تجزیه شیمیایی عناصر اصلی، کمیاب و نادر خاکی سنگ های نفوذی کلاه قاضی به روش XRF	۶۸
جدول ۲-۴ داده های مربوط به نورم سنگ های نفوذی کلاه قاضی	۶۹
جدول ۱-۵ نتایج حاصل از آنالیز ایزوتوب های پایدار توده نفوذی کلاه قاضی	۸۹

فصل اول

کلیات

۱-۱ مقدمه

پهنه سندج - سیرجان در اصل جزی از ایران مرکزی به شمار می رود ولی با اختصاصات ویژه ای از آن متمایز می شود. این پهنه به صورت نوار طویل دگرگون شده ای در امتداد و به موازات روراندگی زاگرس قرار دارد و نیز، آتشفشان های ترشیاری در آن بسیار اندک است. پهنه سندج - سیرجان در شمار نا آرام ترین و به عبارتی فعال ترین پهنه ساختمانی ایران محسوب می شود و تا سنوزوئیک فاز های دگرگونی و ماقماتیسم مهمی را پشت سر گذاشته است. این پهنه را می توان از ناحیه گلپایگان به دو بخش شمالی و جنوبی تقسیم نمود (درویش زاده، ۱۳۷۰).

درویش زاده (۱۳۷۰)، ویژگی های پهنه سندج - سیرجان را به صورت زیر بر می شمرد:

- دگرگونی شدید پر کامبرین که در گلپایگان و به ویژه بخش جنوبی این نوار دیده می شود. در طی دوران پالئوزوئیک رسوبات تخریبی و سنگ های آتشفشاری بین لایه ای در آن تشکیل شده است.
- وفور رسوبات آواری شیلی پرمین را می توان نتیجه بالا آمدگی این بخش از فلات ایران بر اثر حرکات هرسی نین دانست.

- در تریاس میانی دگرگونی و تغییر شکل شدیدی را متحمل شده و سنگ های دگرگونی حاجی آباد اسفندقه، حوالی سیرجان که توده های نفوذی محلی نتیجه آن است.

- رسوب گذاری ژوراسیک از نوع تخریبی و همراه با آن، آتشفشاری زیر دریایی است.
- دگرگونی شدید سیمیرین پسین در اواخر ژوراسیک به ویژه در بخش شمالی آن مشاهده شده است.
- دگرگونی و گرانیت زایی در کرتاسه پایانی - پالئوسن یکی دیگر ازویژگی های این پهنه است.

- و بالاخره در فاز کوهزایی بین ائوسن - اولیگوسن توده های بازیک در بخش شمالی این نوار به چشم می خورد.

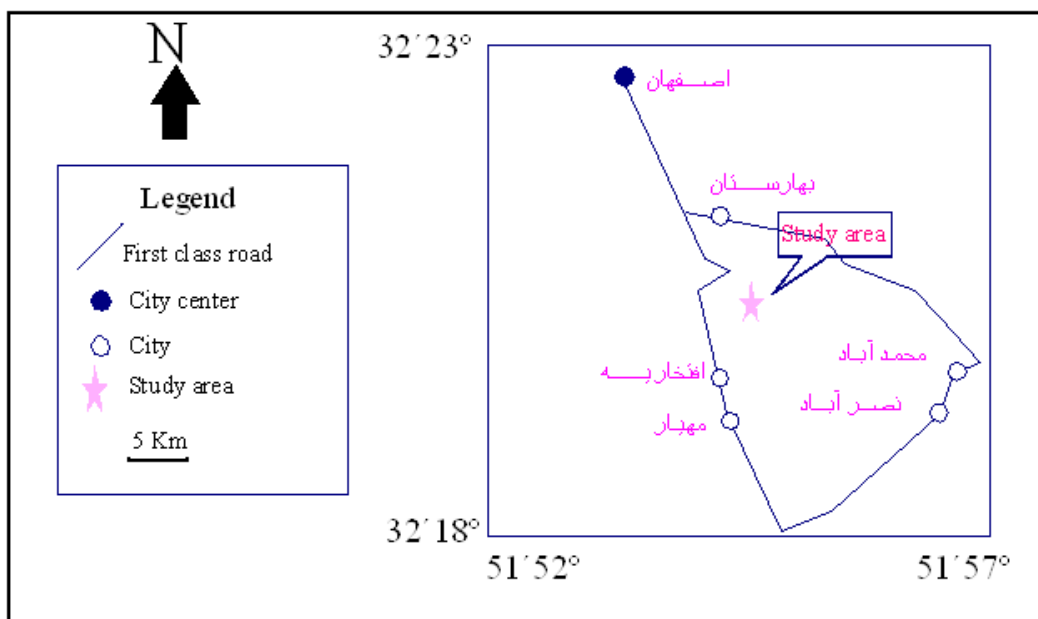
۲- موقعیت جغرافیایی منطقه

گرانیتوئید کلاه قاضی در $20^{\circ} 51' 55''$ کیلومتری جنوب - جنوب شرق اصفهان و در موقعیت طول جغرافیایی $51^{\circ} 55'$ شمالی و عرض جغرافیایی $32^{\circ} 20'$ شرقی واقع شده است و شامل توده های مجزا از هم می باشد. این توده ها در منتهی الیه جنوب سلسله کوه کلاه قاضی واقع است و به نام گرانوودیوریت کلاه قاضی نامیده شده است. توده های مذبور قدیم تر از بارمین است. کنگلومرای قاعده ای بارمین - آپسین قطعات فراوانی از این توده را در بر دارد (Zahedi 1976). به طوریکه کنگلومرا روی آن ها و شیل های ژوراسیک را می پوشاند. همچنین با توجه به اینکه توده گرانیتوئیدی کلاه قاضی در شیل ها نفوذ نموده و ایجاد هاله دگرگونی کرده است، سن آن را به ژوراسیک فوقانی نسبت می دهند (Drooish Zadeh 1370).

۳- راه های ارتباطی به منطقه مورد مطالعه

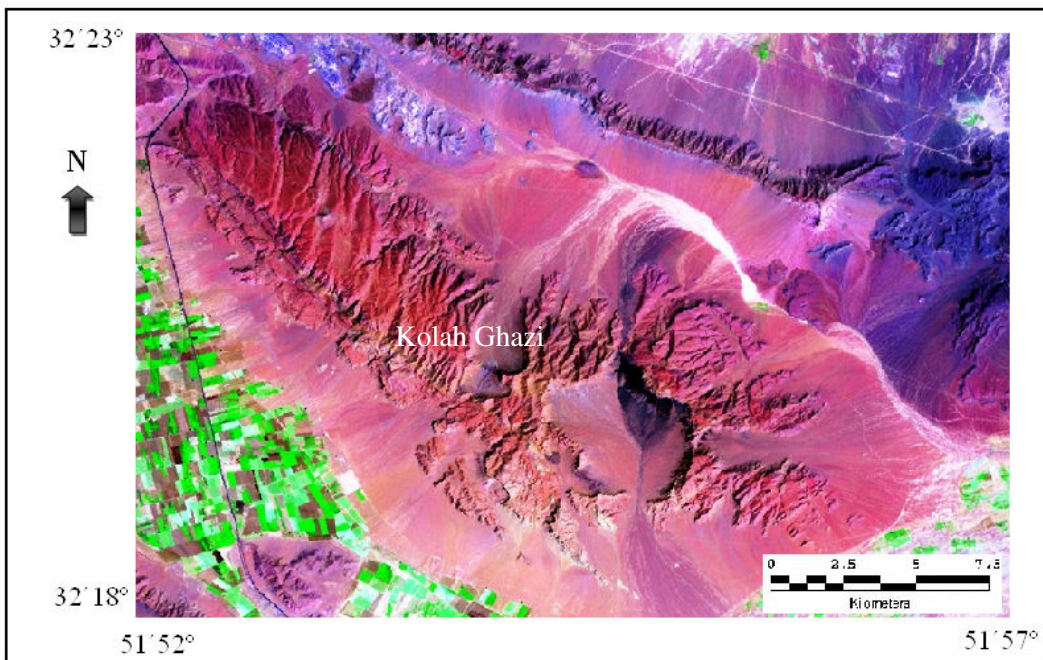
دسترسی به منطقه کلاه قاضی به چند طریق امکان پذیر می باشد:

- (۱) اتوبان اصفهان به شهرضا که این راه از طریق گردنه لاشتر با انشعباب یک جاده خاکی به سمت شرق وارد منطقه مورد نظر می شود.
- (۲) جاده اصفهان به محمدآباد جرقویه، که پس از عبور از شهر جدید بهارستان، قلعه شور، رحیم آباد، گنج آباد و قارنه به شهر محمدآباد جرقویه می رسد.
- (۳) راه انشعبابی از جاده اصلی اصفهان - شهرضا، موسوم به جاده افتخاریه که پس از گذشتن از مزارع کشاورزی و کanal آب جرقویه به پاسگاه محیط بانی محمدآباد لاگور می رسد.
- (۴) جاده شهرضا به پرزاں از سمت جنوب منطقه مورد مطالعه.



شکل ۱-۱ موقعیت منطقه مورد مطالعه و راه های دسترسی به آن (اقتباس از اطلس راه های ایران، ۱۳۸۴)

تصویر ماهواره ای (شکل ۲-۱) موقعیت سنگ های نفوذی مورد مطالعه را نشان می دهد.



شکل ۲-۱ سنگ های نفوذی کلاه قاضی در عکس ماهواره ای نمایش داده شده است.

رخمنون اصلی سنگ های پلوتونیک مورد بررسی در دره سوروش جان و لاغور می باشد. موقعیت سنگ های نفوذی نسبت به نزدیک ترین شهر و روستاهای همچوارش (بهارستان، محمد آباد، رحیم آباد، نصر آباد و افتخاریه) و جایگاه آن بروی نقشه ایران آورده شده است (شکل ۳-۱).